Siehe ähnliche Dateien: http://www.ps.bam.de/TG57/
Technische Information: http://www.ps.bam.de Version 2.1, io=1,1?

BAM-Registrierung: 20060101-TG57/10Q/Q57G00SP.PS/.PDF BAM-Material: Code=rha4ta
Anwendung für Beurteilung und Messung von Drucker– oder Monitorsystemen
/TG57/ Form: 1/10, Serie: 1/1, Seite: 1 Sattenz hlung 1

## Eingabe: Farbmetrisches Reflexions-System NRS11

**für Buntton *h** = lab*h = 24/360 = 0.067**
***lab*tch* und *lab*nch***

**D65: Buntton R**
**LCH*Ma: 53 84 24**
**rgb*Ma: 1.0 0.0 0.0**

**Dreiecks-Helligkeit *t****

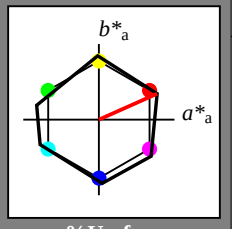


**%Umfang**
**u*rel = 119**

### NRS11; adaptierte CIELAB-Daten

| | L*=L*a | a*a | b*a | C*ab,a | h*ab,a |
|---|---|---|---|---|---|
| RMa | 53.2 | 77.06 | 34.32 | 84.36 | 24 |
| JMa | 53.2 | −1.51 | 84.38 | 84.39 | 91 |
| GMa | 53.2 | −82.27 | 18.98 | 84.44 | 167 |
| G50BMa | 53.2 | −77.72 | −32.98 | 84.44 | 203 |
| BMa | 53.2 | 4.37 | −84.28 | 84.41 | 273 |
| B50RMa | 53.2 | 69.09 | −48.41 | 84.37 | 325 |
| NMa | 10.99 | 0.0 | 0.0 | 0.0 | 0 |
| WMa | 95.41 | 0.0 | 0.0 | 0.0 | 0 |
| RCIE | 39.92 | 58.69 | 27.98 | 65.01 | 25 |
| JCIE | 81.26 | −2.9 | 71.56 | 71.62 | 92 |
| GCIE | 52.23 | −42.45 | 13.59 | 44.59 | 162 |
| BCIE | 30.57 | 1.35 | −46.48 | 46.51 | 272 |

**%Regularität**
**g*H,rel = 47**
**g*C,rel = 100**

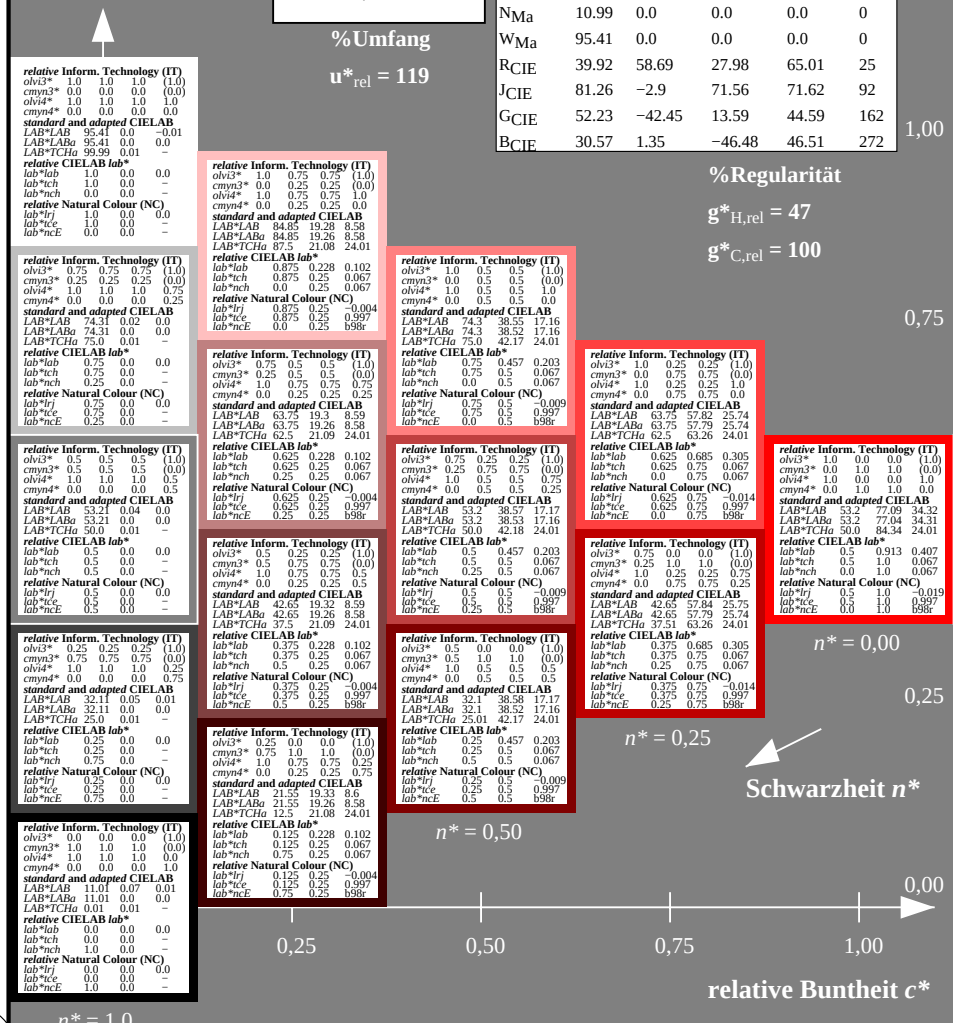


TG570−7, 5 stufige Reihen für konstanten CIELAB Buntton 24/360 = 0.067 (links)

## Ausgabe: Farbmetrisches Reflexions-System ORS18

**für Buntton *h** = lab*h = 38/360 = 0.105**
***lab*tch* und *lab*nch***

**D65: Buntton O**
**LCH*Ma: 48 83 38**
**rgb*Ma: 1.0 0.0 0.0**

**Dreiecks-Helligkeit *t****

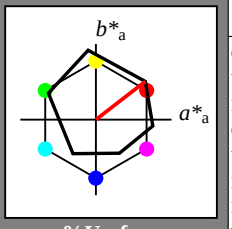


**%Umfang**
**u*rel = 93**

### ORS18; adaptierte CIELAB-Daten

| | L*=L*a | a*a | b*a | C*ab,a | h*ab,a |
|---|---|---|---|---|---|
| OMa | 47.94 | 65.37 | 50.52 | 82.62 | 38 |
| YMa | 90.37 | −10.27 | 91.77 | 92.34 | 96 |
| LMa | 50.9 | −62.79 | 34.95 | 71.87 | 151 |
| CMa | 58.62 | −30.35 | −45.01 | 54.3 | 236 |
| VMa | 25.71 | 31.11 | −44.42 | 54.24 | 305 |
| MMa | 48.13 | 75.27 | −8.35 | 75.73 | 354 |
| NMa | 18.01 | 0.0 | 0.0 | 0.0 | 0 |
| WMa | 95.41 | 0.0 | 0.0 | 0.0 | 0 |
| RCIE | 39.92 | 58.66 | 26.98 | 64.56 | 25 |
| JCIE | 81.26 | −2.17 | 67.76 | 67.79 | 92 |
| GCIE | 52.23 | −42.26 | 11.75 | 43.87 | 164 |
| BCIE | 30.57 | 1.15 | −46.84 | 46.87 | 271 |

**%Regularität**
**g*H,rel = 57**
**g*C,rel = 59**

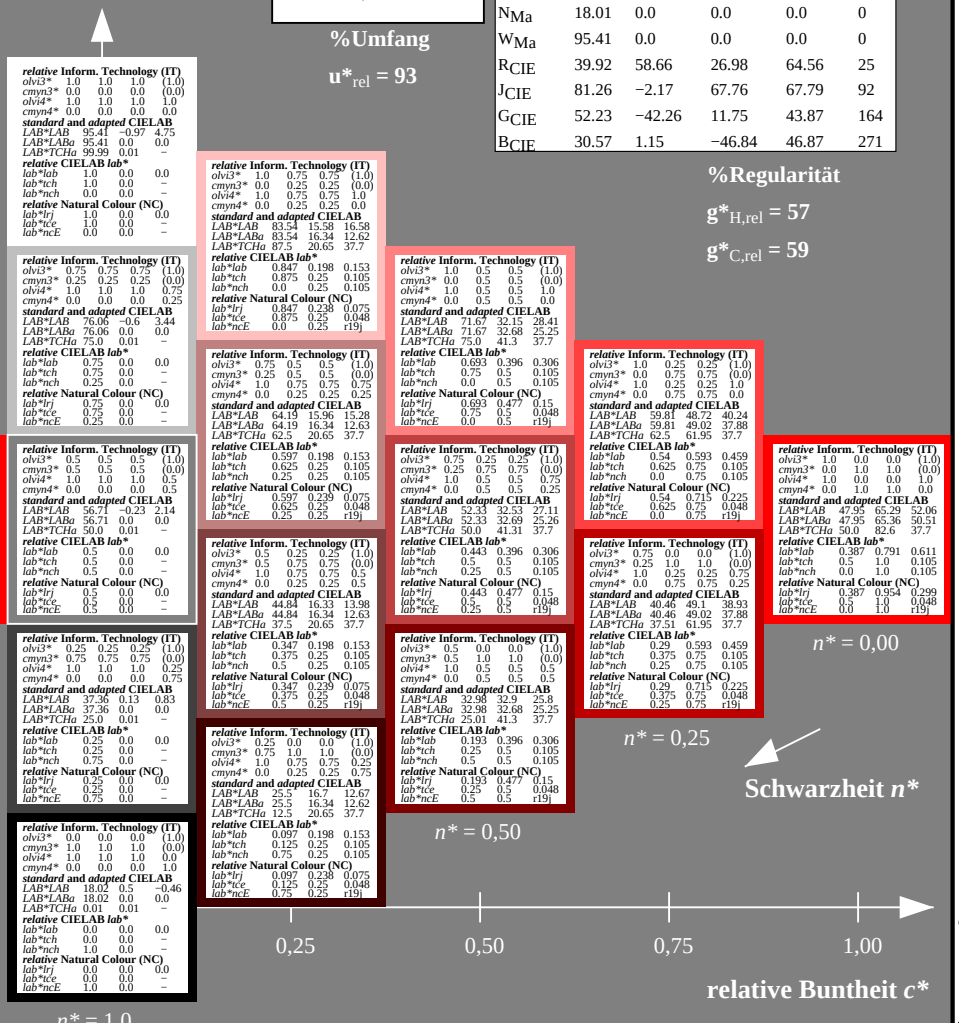


5 stufige Reihen für konstanten CIELAB Buntton 38/360 = 0.105 (rechts)

www.ps.bam.de/TG57/10Q/Q57G01SP.PS/.PDF;
S: Ausgabe-Linearisierung (OL-Daten) TG57/10Q/Q57G01SP.DAT im Distiller Startup (S) Directory

BAM-Registrierung: 20060101-TG57/10Q/Q57G01SP.PS/.PDF BAM-Material: Code=rha4ta
Anwendung für Beurteilung und Messung von Drucker– oder Monitorsystemen
/TG57/ Form: 2/10, Serie: 1/1, Seite: 2 Sättenz hlung 2

Siehe ähnliche Dateien: http://www.ps.bam.de/TG57/
Technische Information: http://www.ps.bam.de Version 2.1, io=1,1?

## Eingabe: Farbmetrisches Reflexions-System NRS11

**für Buntton *h** = lab*h = 91/360 = 0.253**
***lab*tch* und *lab*nch***

**D65: Buntton J**
**LCH*Ma: 53 84 91**
**rgb*Ma: 1.0 1.0 0.0**

**Dreiecks-Helligkeit *t****

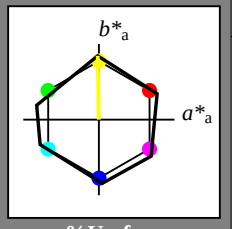


**%Umfang**

**u*rel = 119**

**NRS11; adaptierte CIELAB-Daten**

| | $L^*=L^*_a$ | $a^*_a$ | $b^*_a$ | $C^*_{ab,a}$ | $h^*_{ab,a}$ |
|---|---|---|---|---|---|
| $R_{Ma}$ | 53.2 | 77.06 | 34.32 | 84.36 | 24 |
| $J_{Ma}$ | 53.2 | −1.51 | 84.38 | 84.39 | 91 |
| $G_{Ma}$ | 53.2 | −82.27 | 18.98 | 84.44 | 167 |
| $G50B_{Ma}$ | 53.2 | −77.72 | −32.98 | 84.44 | 203 |
| $B_{Ma}$ | 53.2 | 4.37 | −84.28 | 84.41 | 273 |
| $B50R_{Ma}$ | 53.2 | 69.09 | −48.41 | 84.37 | 325 |
| $N_{Ma}$ | 10.99 | 0.0 | 0.0 | 0.0 | 0 |
| $W_{Ma}$ | 95.41 | 0.0 | 0.0 | 0.0 | 0 |
| $R_{CIE}$ | 39.92 | 58.69 | 27.98 | 65.01 | 25 |
| $J_{CIE}$ | 81.26 | −2.9 | 71.56 | 71.62 | 92 |
| $G_{CIE}$ | 52.23 | −42.45 | 13.59 | 44.59 | 162 |
| $B_{CIE}$ | 30.57 | 1.35 | −46.48 | 46.51 | 272 |

**%Regularität**

**g*H,rel = 47**

**g*C,rel = 100**

## Ausgabe: Farbmetrisches Reflexions-System ORS18

**für Buntton *h** = lab*h = 96/360 = 0.268**
***lab*tch* und *lab*nch***

**D65: Buntton Y**
**LCH*Ma: 90 92 96**
**rgb*Ma: 1.0 1.0 0.0**

**Dreiecks-Helligkeit *t****

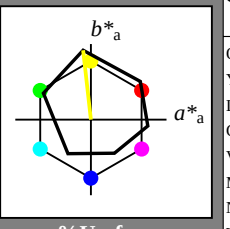


**%Umfang**

**u*rel = 93**

**ORS18; adaptierte CIELAB-Daten**

| | $L^*=L^*_a$ | $a^*_a$ | $b^*_a$ | $C^*_{ab,a}$ | $h^*_{ab,a}$ |
|---|---|---|---|---|---|
| $O_{Ma}$ | 47.94 | 65.37 | 50.52 | 82.62 | 38 |
| $Y_{Ma}$ | 90.37 | −10.27 | 91.77 | 92.34 | 96 |
| $L_{Ma}$ | 50.9 | −62.79 | 34.95 | 71.87 | 151 |
| $C_{Ma}$ | 58.62 | −30.35 | −45.01 | 54.3 | 236 |
| $V_{Ma}$ | 25.71 | 31.11 | −44.42 | 54.24 | 305 |
| $M_{Ma}$ | 48.13 | 75.27 | −8.35 | 75.73 | 354 |
| $N_{Ma}$ | 18.01 | 0.0 | 0.0 | 0.0 | 0 |
| $W_{Ma}$ | 95.41 | 0.0 | 0.0 | 0.0 | 0 |
| $R_{CIE}$ | 39.92 | 58.66 | 26.98 | 64.56 | 25 |
| $J_{CIE}$ | 81.26 | −2.17 | 67.76 | 67.79 | 92 |
| $G_{CIE}$ | 52.23 | −42.26 | 11.75 | 43.87 | 164 |
| $B_{CIE}$ | 30.57 | 1.15 | −46.84 | 46.87 | 271 |

**%Regularität**

**g*H,rel = 57**

**g*C,rel = 59**

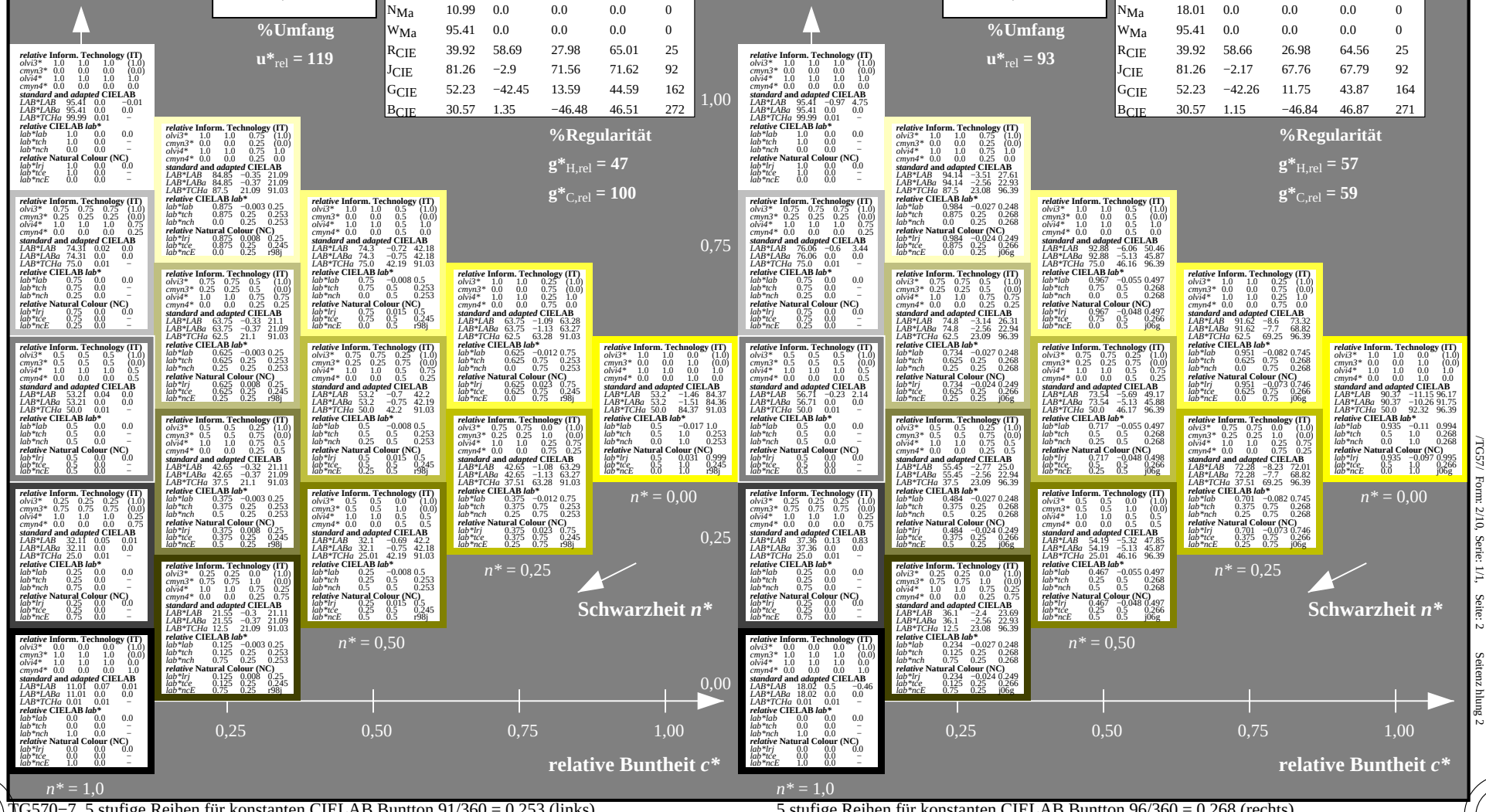


TG570−7, 5 stufige Reihen für konstanten CIELAB Buntton 91/360 = 0.253 (links)

5 stufige Reihen für konstanten CIELAB Buntton 96/360 = 0.268 (rechts)

BAM-Prüfvorlage TG57; Farbmetrik-Systeme ORS18 & ORS18 input: *olv* setrgbcolor*
D65: 2 Koordinaten-Daten von 5stufigen Farbreihen für 10 Buntton output: *Startup (S) data dependend*

Siehe ähnliche Dateien: http://www.ps.bam.de/TG57/
Technische Information: http://www.ps.bam.de Version 2.1, io=1,1?

## Eingabe: Farbmetrisches Reflexions-System NRS11

**für Buntton $h^* = lab^*h = 167/360 = 0.464$**
**lab*tch und lab*nch**

**D65: Buntton G**
**LCH*Ma: 53 84 167**
**rgb*Ma: 0.0 1.0 0.0**
**Dreiecks-Helligkeit $t^*$**

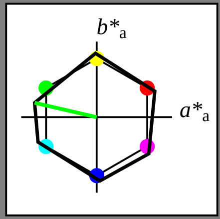


**%Umfang**
$u^*_{rel} = 119$

**NRS11; adaptierte CIELAB-Daten**

| | $L^*=L^*_a$ | $a^*_a$ | $b^*_a$ | $C^*_{ab,a}$ | $h^*_{ab,a}$ |
|---|---|---|---|---|---|
| $R_{Ma}$ | 53.2 | 77.06 | 34.32 | 84.36 | 24 |
| $J_{Ma}$ | 53.2 | −1.51 | 84.38 | 84.39 | 91 |
| $G_{Ma}$ | 53.2 | −82.27 | 18.98 | 84.44 | 167 |
| $G50B_{Ma}$ | 53.2 | −77.72 | −32.98 | 84.44 | 203 |
| $B_{Ma}$ | 53.2 | 4.37 | −84.28 | 84.41 | 273 |
| $B50R_{Ma}$ | 53.2 | 69.09 | −48.41 | 84.37 | 325 |
| $N_{Ma}$ | 10.99 | 0.0 | 0.0 | 0.0 | 0 |
| $W_{Ma}$ | 95.41 | 0.0 | 0.0 | 0.0 | 0 |
| $R_{CIE}$ | 39.92 | 58.69 | 27.98 | 65.01 | 25 |
| $J_{CIE}$ | 81.26 | −2.9 | 71.56 | 71.62 | 92 |
| $G_{CIE}$ | 52.23 | −42.45 | 13.59 | 44.59 | 162 |
| $B_{CIE}$ | 30.57 | 1.35 | −46.48 | 46.51 | 272 |

**%Regularität**
$g^*_{H,rel} = 47$
$g^*_{C,rel} = 100$

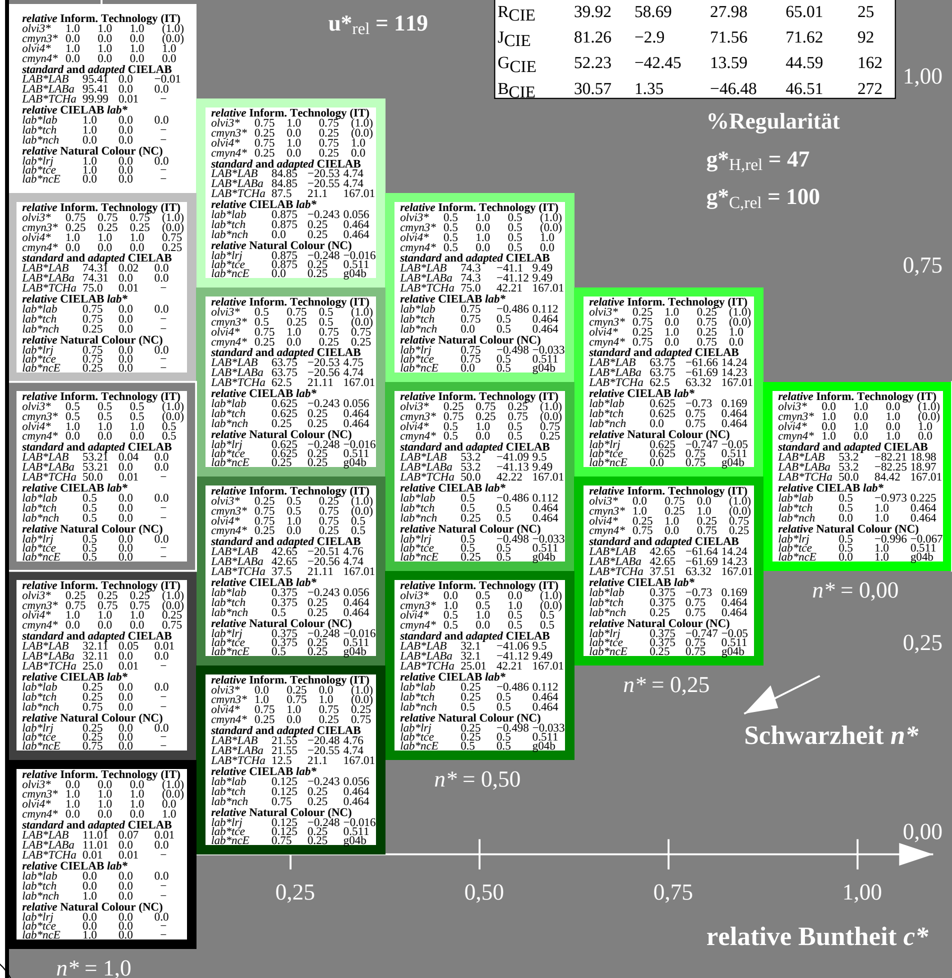


## Ausgabe: Farbmetrisches Reflexions-System ORS18

**für Buntton $h^* = lab^*h = 151/360 = 0.419$**
**lab*tch und lab*nch**

**D65: Buntton L**
**LCH*Ma: 51 72 151**
**rgb*Ma: 0.0 1.0 0.0**
**Dreiecks-Helligkeit $t^*$**

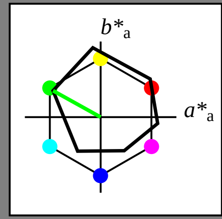


**%Umfang**
$u^*_{rel} = 93$

**ORS18; adaptierte CIELAB-Daten**

| | $L^*=L^*_a$ | $a^*_a$ | $b^*_a$ | $C^*_{ab,a}$ | $h^*_{ab,a}$ |
|---|---|---|---|---|---|
| $O_{Ma}$ | 47.94 | 65.37 | 50.52 | 82.62 | 38 |
| $Y_{Ma}$ | 90.37 | −10.27 | 91.77 | 92.34 | 96 |
| $L_{Ma}$ | 50.9 | −62.79 | 34.95 | 71.87 | 151 |
| $C_{Ma}$ | 58.62 | −30.35 | −45.01 | 54.3 | 236 |
| $V_{Ma}$ | 25.71 | 31.11 | −44.42 | 54.24 | 305 |
| $M_{Ma}$ | 48.13 | 75.27 | −8.35 | 75.73 | 354 |
| $N_{Ma}$ | 18.01 | 0.0 | 0.0 | 0.0 | 0 |
| $W_{Ma}$ | 95.41 | 0.0 | 0.0 | 0.0 | 0 |
| $R_{CIE}$ | 39.92 | 58.66 | 26.98 | 64.56 | 25 |
| $J_{CIE}$ | 81.26 | −2.17 | 67.76 | 67.79 | 92 |
| $G_{CIE}$ | 52.23 | −42.26 | 11.75 | 43.87 | 164 |
| $B_{CIE}$ | 30.57 | 1.15 | −46.84 | 46.87 | 271 |

**%Regularität**
$g^*_{H,rel} = 57$
$g^*_{C,rel} = 59$

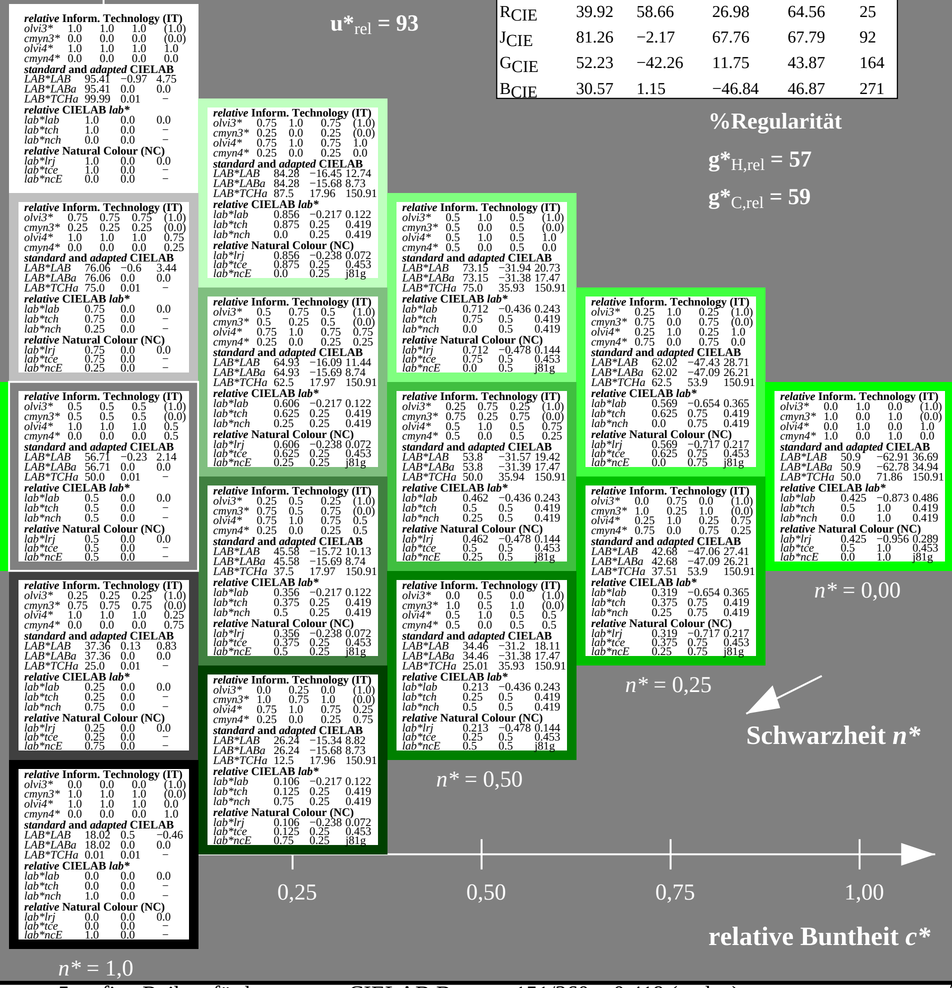


TG570−7, 5 stufige Reihen für konstanten CIELAB Buntton 167/360 = 0.464 (links)
5 stufige Reihen für konstanten CIELAB Buntton 151/360 = 0.419 (rechts)

BAM-Registrierung: 20060101-TG57/10Q/Q57G02SP.PS/.PDF BAM-Material: Code=rha4ta
Anwendung für Beurteilung und Messung von Drucker− oder Monitorsystemen

/TG57/ Form: 3/10, Serie: 1/1, Seite: 3

www.ps.bam.de/TG57/10Q/Q57G03SP.PS/.PDF;
S: Ausgabe-Linearisierung (OL-Daten) TG57/10Q/Q57G03SP.DAT im Distiller Startup (S) Directory

Siehe ähnliche Dateien: http://www.ps.bam.de/TG57/
Technische Information: http://www.ps.bam.de Version 2.1, io=1,1?

BAM-Registrierung: 20060101-TG57/10Q/Q57G03SP.PS/.PDF BAM-Material: Code=rha4ta
Anwendung für Beurteilung und Messung von Drucker– oder Monitorsystemen
/TG57/ Form: 4/10, Serie: 1/1, Seite: 4 Sattenz hlung 4

## Eingabe: Farbmetrisches Reflexions-System NRS11

**für Buntton *h* = lab*h = 203/360 = 0.564***
***lab*tch* und *lab*nch***

**D65: Buntton G50B**
**LCH*Ma: 53 84 203**
**rgb*Ma: 0.0 1.0 1.0**

**Dreiecks-Helligkeit *t****

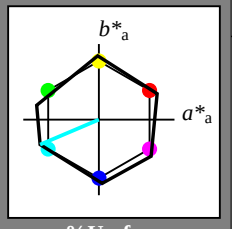


**%Umfang**
**u*rel = 119**

**NRS11; adaptierte CIELAB-Daten**

| | $L^*=L^*_a$ | $a^*_a$ | $b^*_a$ | $C^*_{ab,a}$ | $h^*_{ab,a}$ |
|---|---|---|---|---|---|
| $R_{Ma}$ | 53.2 | 77.06 | 34.32 | 84.36 | 24 |
| $J_{Ma}$ | 53.2 | −1.51 | 84.38 | 84.39 | 91 |
| $G_{Ma}$ | 53.2 | −82.27 | 18.98 | 84.44 | 167 |
| $G50B_{Ma}$ | 53.2 | −77.72 | −32.98 | 84.44 | 203 |
| $B_{Ma}$ | 53.2 | 4.37 | −84.28 | 84.41 | 273 |
| $B50R_{Ma}$ | 53.2 | 69.09 | −48.41 | 84.37 | 325 |
| $N_{Ma}$ | 10.99 | 0.0 | 0.0 | 0.0 | 0 |
| $W_{Ma}$ | 95.41 | 0.0 | 0.0 | 0.0 | 0 |
| $R_{CIE}$ | 39.92 | 58.69 | 27.98 | 65.01 | 25 |
| $J_{CIE}$ | 81.26 | −2.9 | 71.56 | 71.62 | 92 |
| $G_{CIE}$ | 52.23 | −42.45 | 13.59 | 44.59 | 162 |
| $B_{CIE}$ | 30.57 | 1.35 | −46.48 | 46.51 | 272 |

**%Regularität**
**g*H,rel = 47**
**g*C,rel = 100**

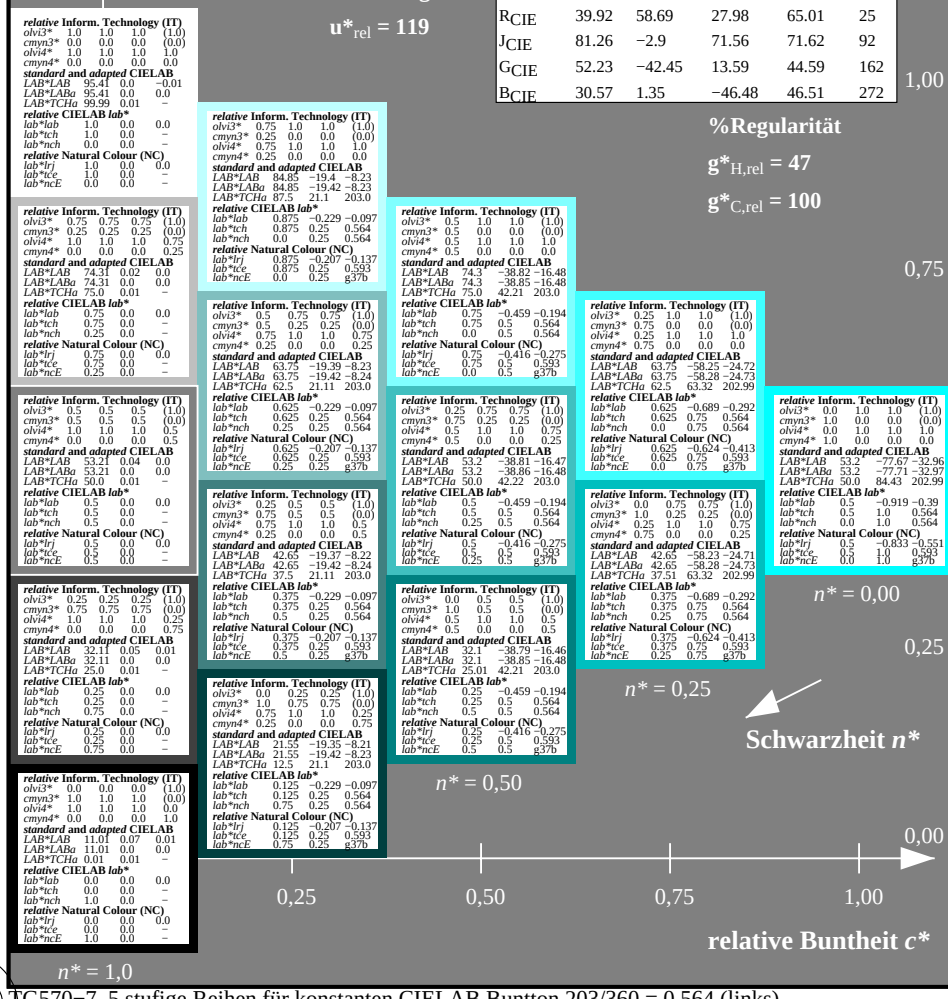


TG570−7, 5 stufige Reihen für konstanten CIELAB Buntton 203/360 = 0.564 (links)

## Ausgabe: Farbmetrisches Reflexions-System ORS18

**für Buntton *h* = lab*h = 236/360 = 0.656***
***lab*tch* und *lab*nch***

**D65: Buntton C**
**LCH*Ma: 59 54 236**
**rgb*Ma: 0.0 1.0 1.0**

**Dreiecks-Helligkeit *t****

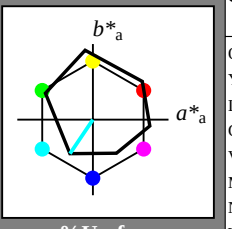


**%Umfang**
**u*rel = 93**

**ORS18; adaptierte CIELAB-Daten**

| | $L^*=L^*_a$ | $a^*_a$ | $b^*_a$ | $C^*_{ab,a}$ | $h^*_{ab,a}$ |
|---|---|---|---|---|---|
| $O_{Ma}$ | 47.94 | 65.37 | 50.52 | 82.62 | 38 |
| $Y_{Ma}$ | 90.37 | −10.27 | 91.77 | 92.34 | 96 |
| $L_{Ma}$ | 50.9 | −62.79 | 34.95 | 71.87 | 151 |
| $C_{Ma}$ | 58.62 | −30.35 | −45.01 | 54.3 | 236 |
| $V_{Ma}$ | 25.71 | 31.11 | −44.42 | 54.24 | 305 |
| $M_{Ma}$ | 48.13 | 75.27 | −8.35 | 75.73 | 354 |
| $N_{Ma}$ | 18.01 | 0.0 | 0.0 | 0.0 | 0 |
| $W_{Ma}$ | 95.41 | 0.0 | 0.0 | 0.0 | 0 |
| $R_{CIE}$ | 39.92 | 58.66 | 26.98 | 64.56 | 25 |
| $J_{CIE}$ | 81.26 | −2.17 | 67.76 | 67.79 | 92 |
| $G_{CIE}$ | 52.23 | −42.26 | 11.75 | 43.87 | 164 |
| $B_{CIE}$ | 30.57 | 1.15 | −46.84 | 46.87 | 271 |

**%Regularität**
**g*H,rel = 57**
**g*C,rel = 59**

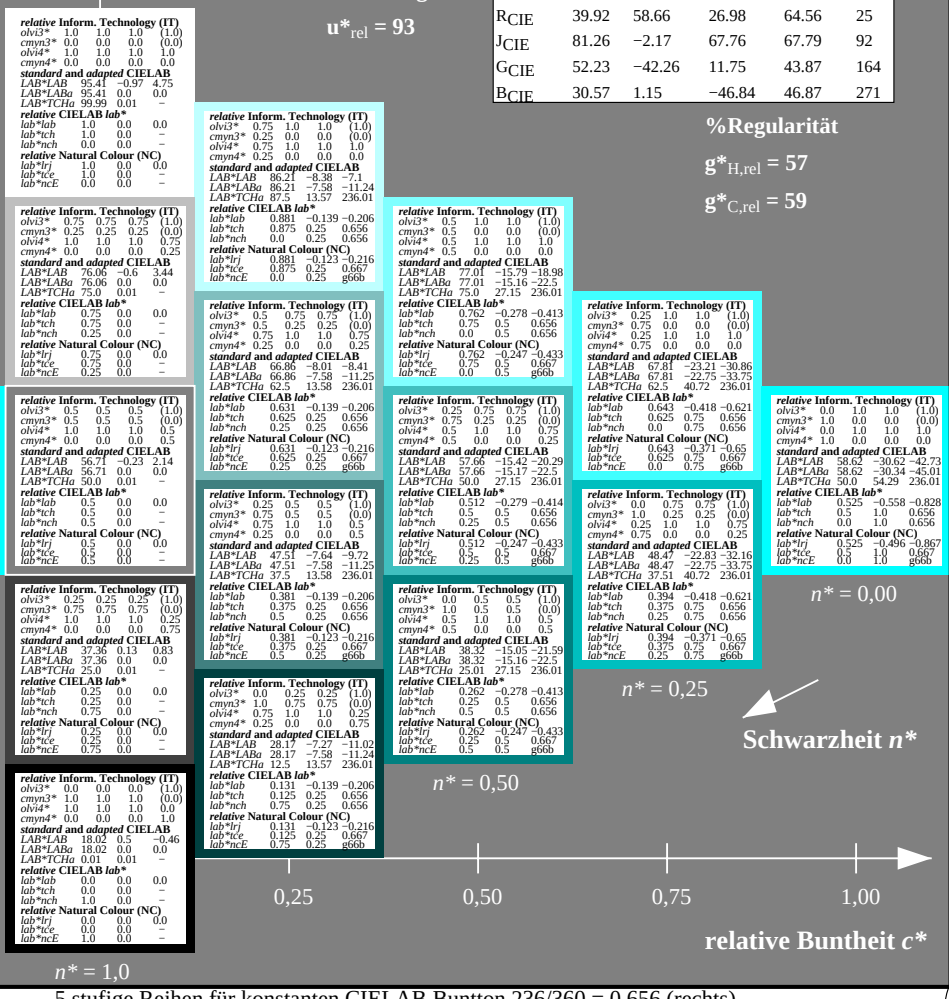


5 stufige Reihen für konstanten CIELAB Buntton 236/360 = 0.656 (rechts)

BAM-Prüfvorlage TG57; Farbmetrik-Systeme ORS18 & ORS18 input: *olv* setrgbcolor*
D65: 2 Koordinaten-Daten von 5stufigen Farbreihen für 10 Buntton output: *Startup (S) data dependend*

## Eingabe: Farbmetrisches Reflexions-System NRS11

**für Buntton $h^* = lab^*h = 273/360 = 0.758$**
**lab*tch und lab*nch**

**D65: Buntton B**
**LCH*Ma: 53 84 273**
**rgb*Ma: 0.0 0.0 1.0**

**Dreiecks-Helligkeit $t^*$**

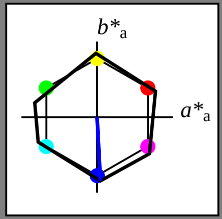


**NRS11; adaptierte CIELAB-Daten**

| | $L^*=L^*_a$ | $a^*_a$ | $b^*_a$ | $C^*_{ab,a}$ | $h^*_{ab,a}$ |
|---|---|---|---|---|---|
| $R_{Ma}$ | 53.2 | 77.06 | 34.32 | 84.36 | 24 |
| $J_{Ma}$ | 53.2 | −1.51 | 84.38 | 84.39 | 91 |
| $G_{Ma}$ | 53.2 | −82.27 | 18.98 | 84.44 | 167 |
| $G50B_{Ma}$ | 53.2 | −77.72 | −32.98 | 84.44 | 203 |
| $B_{Ma}$ | 53.2 | 4.37 | −84.28 | 84.41 | 273 |
| $B50R_{Ma}$ | 53.2 | 69.09 | −48.41 | 84.37 | 325 |
| $N_{Ma}$ | 10.99 | 0.0 | 0.0 | 0.0 | 0 |
| $W_{Ma}$ | 95.41 | 0.0 | 0.0 | 0.0 | 0 |
| $R_{CIE}$ | 39.92 | 58.69 | 27.98 | 65.01 | 25 |
| $J_{CIE}$ | 81.26 | −2.9 | 71.56 | 71.62 | 92 |
| $G_{CIE}$ | 52.23 | −42.45 | 13.59 | 44.59 | 162 |
| $B_{CIE}$ | 30.57 | 1.35 | −46.48 | 46.51 | 272 |

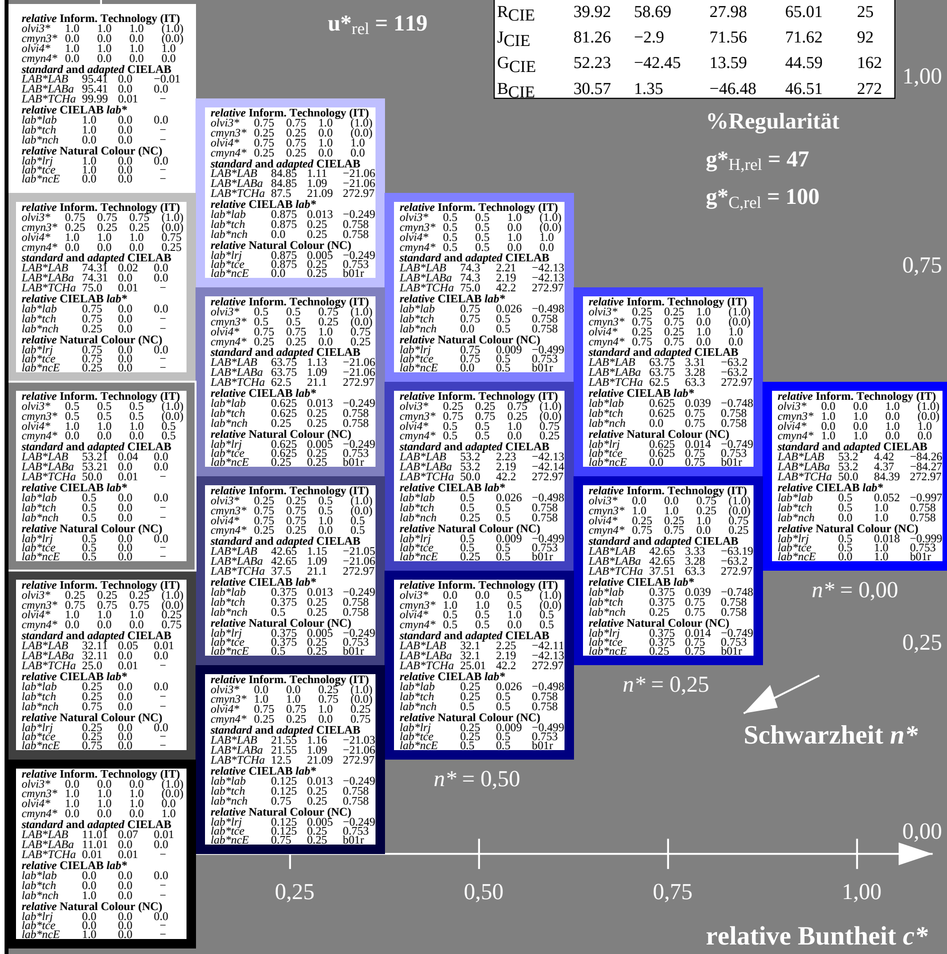


## Ausgabe: Farbmetrisches Reflexions-System ORS18

**für Buntton $h^* = lab^*h = 305/360 = 0.847$**
**lab*tch und lab*nch**

**D65: Buntton V**
**LCH*Ma: 26 54 305**
**rgb*Ma: 0.0 0.0 1.0**

**Dreiecks-Helligkeit $t^*$**

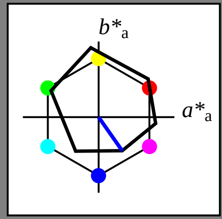


**ORS18; adaptierte CIELAB-Daten**

| | $L^*=L^*_a$ | $a^*_a$ | $b^*_a$ | $C^*_{ab,a}$ | $h^*_{ab,a}$ |
|---|---|---|---|---|---|
| $O_{Ma}$ | 47.94 | 65.37 | 50.52 | 82.62 | 38 |
| $Y_{Ma}$ | 90.37 | −10.27 | 91.77 | 92.34 | 96 |
| $L_{Ma}$ | 50.9 | −62.79 | 34.95 | 71.87 | 151 |
| $C_{Ma}$ | 58.62 | −30.35 | −45.01 | 54.3 | 236 |
| $V_{Ma}$ | 25.71 | 31.11 | −44.42 | 54.24 | 305 |
| $M_{Ma}$ | 48.13 | 75.27 | −8.35 | 75.73 | 354 |
| $N_{Ma}$ | 18.01 | 0.0 | 0.0 | 0.0 | 0 |
| $W_{Ma}$ | 95.41 | 0.0 | 0.0 | 0.0 | 0 |
| $R_{CIE}$ | 39.92 | 58.66 | 26.98 | 64.56 | 25 |
| $J_{CIE}$ | 81.26 | −2.17 | 67.76 | 67.79 | 92 |
| $G_{CIE}$ | 52.23 | −42.26 | 11.75 | 43.87 | 164 |
| $B_{CIE}$ | 30.57 | 1.15 | −46.84 | 46.87 | 271 |

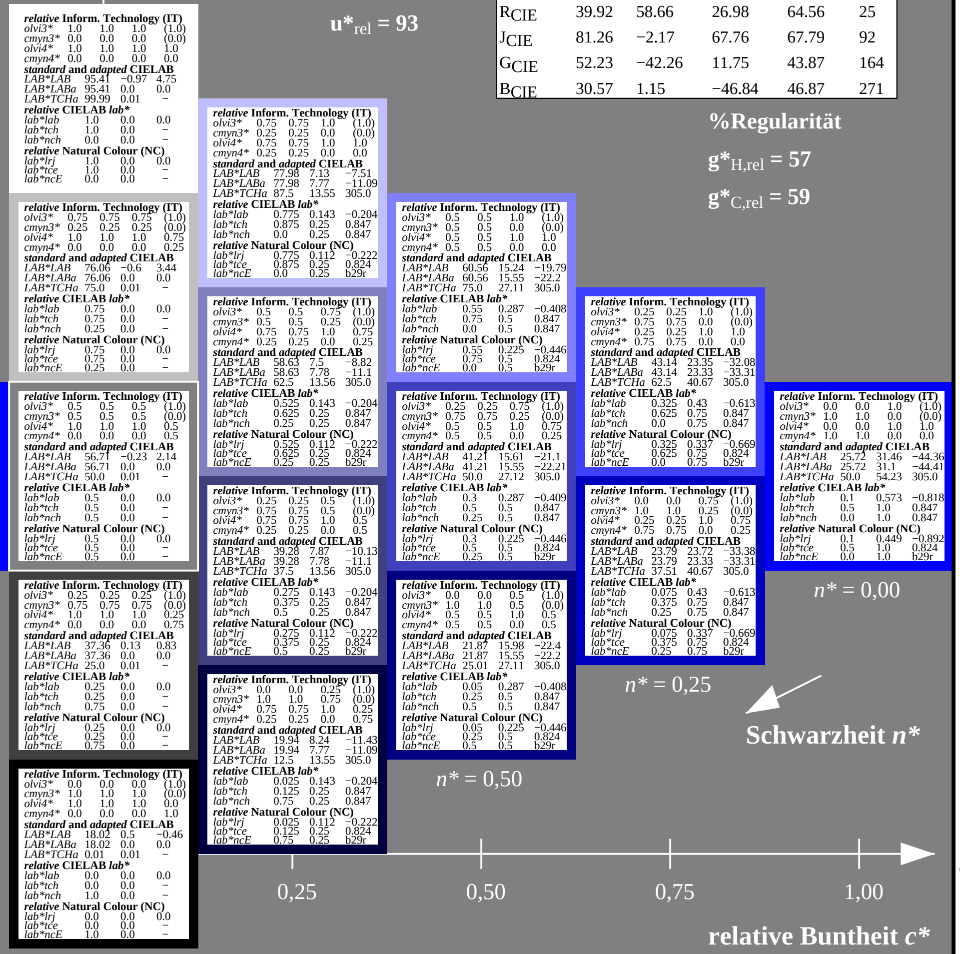


TG570−7, 5 stufige Reihen für konstanten CIELAB Buntton 273/360 = 0.758 (links) 5 stufige Reihen für konstanten CIELAB Buntton 305/360 = 0.847 (rechts)

BAM-Prüfvorlage TG57; Farbmetrik-Systeme ORS18 & ORS18 input: *olv* setrgbcolor*
D65: 2 Koordinaten-Daten von 5stufigen Farbreihen für 10 Bunttöne input: *Startup (S) data dependend*

Siehe ähnliche Dateien: http://www.ps.bam.de/TG57/
Technische Information: http://www.ps.bam.de Version 2.1, io=1,1?

BAM-Registrierung: 20060101-TG57/10Q/Q57G04SP.PS/.PDF BAM-Material: Code=rha4ta
Anwendung für Beurteilung und Messung von Drucker− oder Monitorsystemen

**Eingabe: Farbmetrisches Reflexions-System NRS11**
**für Buntton $h^* = lab^*h = 325/360 = 0.903$**
***lab*tch* und *lab*nch***

**D65: Buntton B50R**
**LCH*Ma: 53 84 325**
**rgb*Ma: 1.0 0.0 1.0**

**Dreiecks-Helligkeit $t^*$**

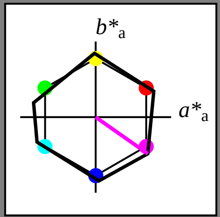


**%Umfang**
$u^*_{rel} = 119$

**NRS11; adaptierte CIELAB-Daten**

| | $L^*=L^*_a$ | $a^*_a$ | $b^*_a$ | $C^*_{ab,a}$ | $h^*_{ab,a}$ |
|---|---|---|---|---|---|
| $R_{Ma}$ | 53.2 | 77.06 | 34.32 | 84.36 | 24 |
| $J_{Ma}$ | 53.2 | −1.51 | 84.38 | 84.39 | 91 |
| $G_{Ma}$ | 53.2 | −82.27 | 18.98 | 84.44 | 167 |
| $G50B_{Ma}$ | 53.2 | −77.72 | −32.98 | 84.44 | 203 |
| $B_{Ma}$ | 53.2 | 4.37 | −84.28 | 84.41 | 273 |
| $B50R_{Ma}$ | 53.2 | 69.09 | −48.41 | 84.37 | 325 |
| $N_{Ma}$ | 10.99 | 0.0 | 0.0 | 0.0 | 0 |
| $W_{Ma}$ | 95.41 | 0.0 | 0.0 | 0.0 | 0 |
| $R_{CIE}$ | 39.92 | 58.69 | 27.98 | 65.01 | 25 |
| $J_{CIE}$ | 81.26 | −2.9 | 71.56 | 71.62 | 92 |
| $G_{CIE}$ | 52.23 | −42.45 | 13.59 | 44.59 | 162 |
| $B_{CIE}$ | 30.57 | 1.35 | −46.48 | 46.51 | 272 |

**%Regularität**
$g^*_{H,rel} = 47$
$g^*_{C,rel} = 100$

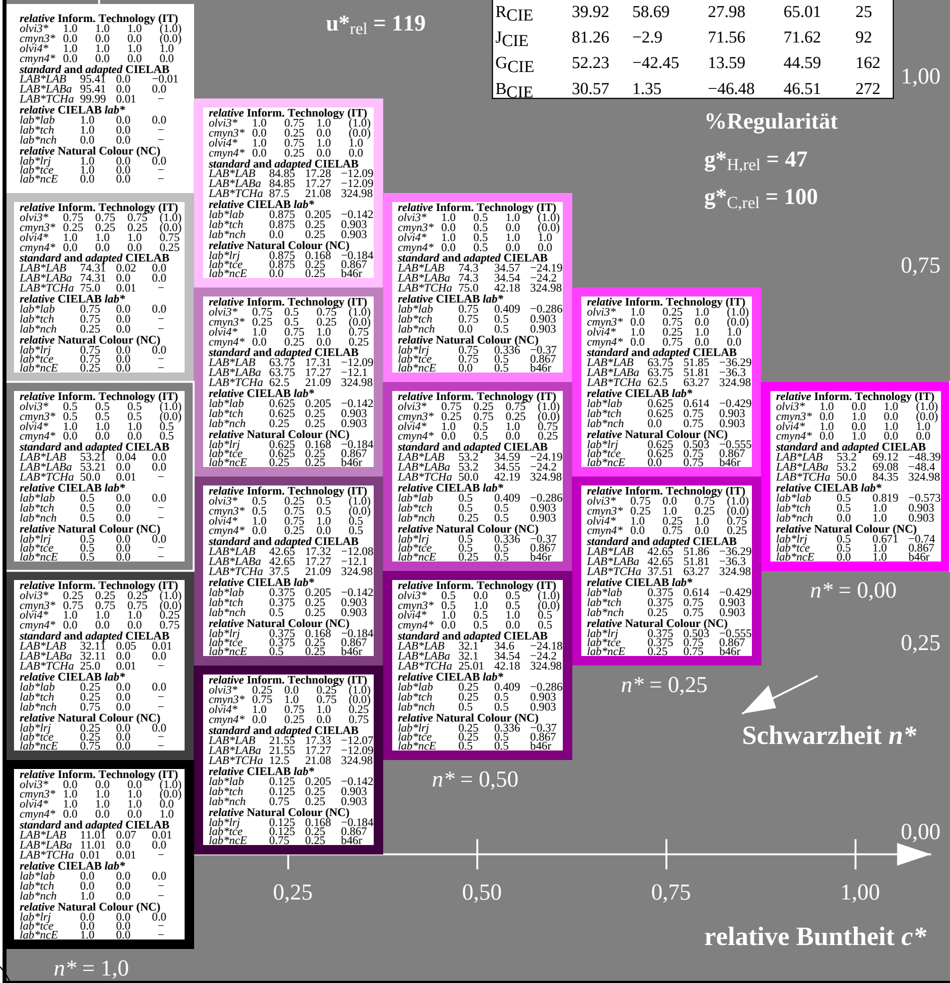


**Ausgabe: Farbmetrisches Reflexions-System ORS18**
**für Buntton $h^* = lab^*h = 354/360 = 0.982$**
***lab*tch* und *lab*nch***

**D65: Buntton M**
**LCH*Ma: 48 76 354**
**rgb*Ma: 1.0 0.0 1.0**

**Dreiecks-Helligkeit $t^*$**

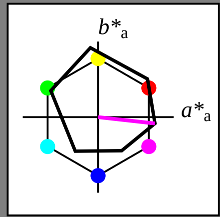


**%Umfang**
$u^*_{rel} = 93$

**ORS18; adaptierte CIELAB-Daten**

| | $L^*=L^*_a$ | $a^*_a$ | $b^*_a$ | $C^*_{ab,a}$ | $h^*_{ab,a}$ |
|---|---|---|---|---|---|
| $O_{Ma}$ | 47.94 | 65.37 | 50.52 | 82.62 | 38 |
| $Y_{Ma}$ | 90.37 | −10.27 | 91.77 | 92.34 | 96 |
| $L_{Ma}$ | 50.9 | −62.79 | 34.95 | 71.87 | 151 |
| $C_{Ma}$ | 58.62 | −30.35 | −45.01 | 54.3 | 236 |
| $V_{Ma}$ | 25.71 | 31.11 | −44.42 | 54.24 | 305 |
| $M_{Ma}$ | 48.13 | 75.27 | −8.35 | 75.73 | 354 |
| $N_{Ma}$ | 18.01 | 0.0 | 0.0 | 0.0 | 0 |
| $W_{Ma}$ | 95.41 | 0.0 | 0.0 | 0.0 | 0 |
| $R_{CIE}$ | 39.92 | 58.66 | 26.98 | 64.56 | 25 |
| $J_{CIE}$ | 81.26 | −2.17 | 67.76 | 67.79 | 92 |
| $G_{CIE}$ | 52.23 | −42.26 | 11.75 | 43.87 | 164 |
| $B_{CIE}$ | 30.57 | 1.15 | −46.84 | 46.87 | 271 |

**%Regularität**
$g^*_{H,rel} = 57$
$g^*_{C,rel} = 59$

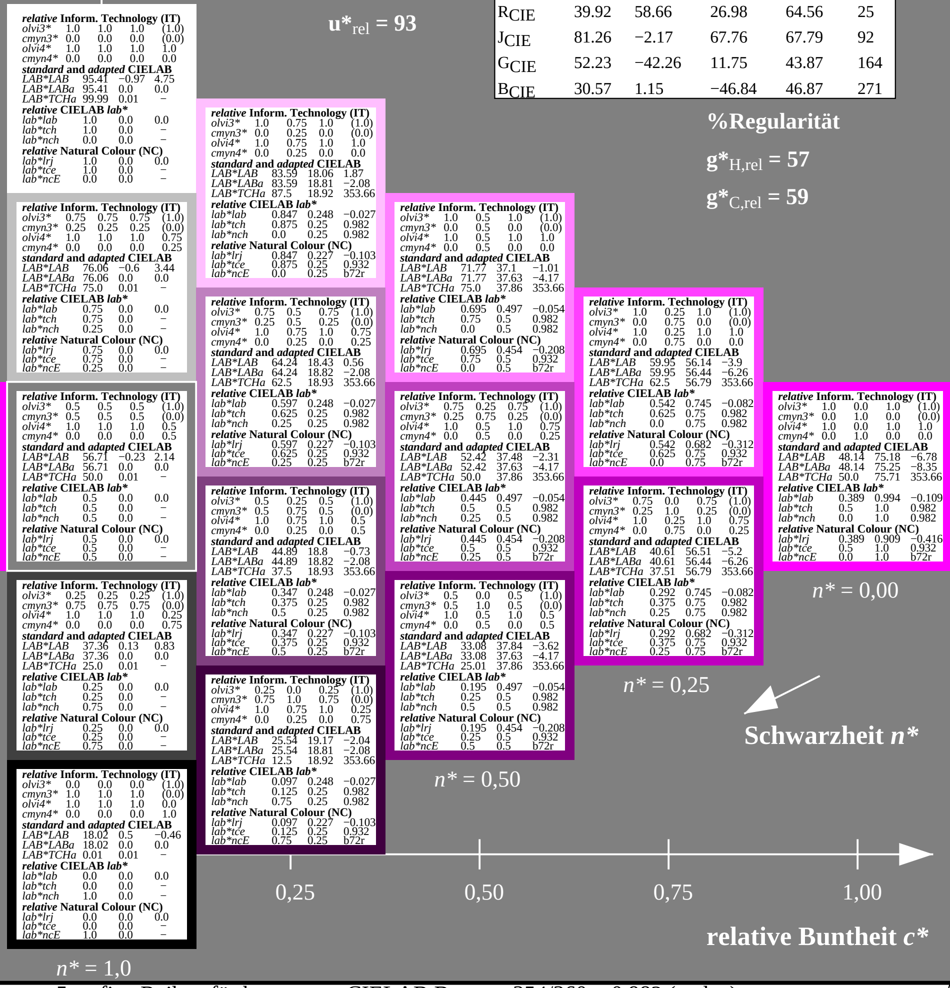


TG570−7, 5 stufige Reihen für konstanten CIELAB Buntton 325/360 = 0.903 (links) 5 stufige Reihen für konstanten CIELAB Buntton 354/360 = 0.982 (rechts)



Siehe ähnliche Dateien: http://www.ps.bam.de/TG57/
Technische Information: http://www.ps.bam.de Version 2.1, io=1,1?

BAM-Registrierung: 20060101-TG57/10Q/Q57G05SP.PS/.PDF BAM-Material: Code=rha4ta
Anwendung für Beurteilung und Messung von Drucker− oder Monitorsystemen

www.ps.bam.de/TG57/10Q/Q57G06SP.PS/.PDF;
S: Ausgabe-Linearisierung (OL-Daten) TG57/10Q/Q57G06SP.DAT im Distiller Startup (S) Directory

Siehe ähnliche Dateien: http://www.ps.bam.de/TG57/
Technische Information: http://www.ps.bam.de Version 2.1, io=1,1?

BAM-Registrierung: 20060101-TG57/10Q/Q57G06SP.PS/.PDF BAM-Material: Code=rha4ta
Anwendung für Beurteilung und Messung von Drucker– oder Monitorsystemen

/TG57/ Form: 7/10, Serie: 1/1, Seite: 7 Sattenz hlung 7

## Eingabe: Farbmetrisches Reflexions-System NRS11

**für Buntton *h* = lab*h = 25/360 = 0.071***
***lab*tch* und *lab*nch***

**D65: Buntton R**
**LCH*Ma: 53 83 25**
**rgb*Ma: 1.0 0.03 0.0**

**Dreiecks-Helligkeit *t****

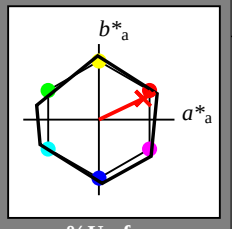


**%Umfang**
**$u^*_{rel}$ = 119**

| NRS11; adaptierte CIELAB-Daten | $L^*=L^*_a$ | $a^*_a$ | $b^*_a$ | $C^*_{ab,a}$ | $h^*_{ab,a}$ |
|---|---|---|---|---|---|
| $R_{Ma}$ | 53.2 | 77.06 | 34.32 | 84.36 | 24 |
| $J_{Ma}$ | 53.2 | −11.51 | 84.38 | 84.39 | 91 |
| $G_{Ma}$ | 53.2 | −82.27 | 18.98 | 84.44 | 167 |
| $G50B_{Ma}$ | 53.2 | −77.72 | −32.98 | 84.44 | 203 |
| $B_{Ma}$ | 53.2 | 4.37 | −84.28 | 84.41 | 273 |
| $B50R_{Ma}$ | 53.2 | 69.09 | −48.41 | 84.37 | 325 |
| $N_{Ma}$ | 10.99 | 0.0 | 0.0 | 0.0 | 0 |
| $W_{Ma}$ | 95.41 | 0.0 | 0.0 | 0.0 | 0 |
| $R_{CIE}$ | 39.92 | 58.69 | 27.98 | 65.01 | 25 |
| $J_{CIE}$ | 81.26 | −2.9 | 71.56 | 71.62 | 92 |
| $G_{CIE}$ | 52.23 | −42.45 | 13.59 | 44.59 | 162 |
| $B_{CIE}$ | 30.57 | 1.35 | −46.48 | 46.51 | 272 |

**%Regularität**
**$g^*_{H,rel}$ = 47**
**$g^*_{C,rel}$ = 100**

## Ausgabe: Farbmetrisches Reflexions-System ORS18

**für Buntton *h* = lab*h = 25/360 = 0.069***
***lab*tch* und *lab*nch***

**D65: Buntton R**
**LCH*Ma: 48 75 25**
**rgb*Ma: 1.0 0.0 0.32**

**Dreiecks-Helligkeit *t****

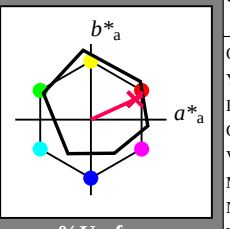


**%Umfang**
**$u^*_{rel}$ = 93**

| ORS18; adaptierte CIELAB-Daten | $L^*=L^*_a$ | $a^*_a$ | $b^*_a$ | $C^*_{ab,a}$ | $h^*_{ab,a}$ |
|---|---|---|---|---|---|
| $O_{Ma}$ | 47.94 | 65.37 | 50.52 | 82.62 | 38 |
| $Y_{Ma}$ | 90.37 | −10.27 | 91.77 | 92.34 | 96 |
| $L_{Ma}$ | 50.9 | −62.79 | 34.95 | 71.87 | 151 |
| $C_{Ma}$ | 58.62 | −30.35 | −45.01 | 54.3 | 236 |
| $V_{Ma}$ | 25.71 | 31.11 | −44.42 | 54.24 | 305 |
| $M_{Ma}$ | 48.13 | 75.27 | −8.35 | 75.73 | 354 |
| $N_{Ma}$ | 18.01 | 0.0 | 0.0 | 0.0 | 0 |
| $W_{Ma}$ | 95.41 | 0.0 | 0.0 | 0.0 | 0 |
| $R_{CIE}$ | 39.92 | 58.66 | 26.98 | 64.56 | 25 |
| $J_{CIE}$ | 81.26 | −2.17 | 67.76 | 67.79 | 92 |
| $G_{CIE}$ | 52.23 | −42.26 | 11.75 | 43.87 | 164 |
| $B_{CIE}$ | 30.57 | 1.15 | −46.84 | 46.87 | 271 |

**%Regularität**
**$g^*_{H,rel}$ = 57**
**$g^*_{C,rel}$ = 59**

TG570−7, 5 stufige Reihen für konstanten CIELAB Buntton 25/360 = 0.071 (links)
5 stufige Reihen für konstanten CIELAB Buntton 25/360 = 0.069 (rechts)

BAM-Prüfvorlage TG57; Farbmetrik-Systeme ORS18 & ORS18 input: *olv* setrgbcolor*
D65: 2 Koordinaten-Daten von 5stufigen Farbreihen für 10 Buntton output: *Startup (S) data dependend*

Siehe ähnliche Dateien: http://www.ps.bam.de/TG57/
Technische Information: http://www.ps.bam.de Version 2.1, io=1,1?

BAM-Registrierung: 20060101-TG57/10Q/Q57G07SP.PS/.PDF BAM-Material: Code=rha4ta
Anwendung für Beurteilung und Messung von Drucker– oder Monitorsystemen
/TG57/ Form: 8/10, Serie: 1/1, Seite: 8 Seitenz hlung 8

## Eingabe: Farbmetrisches Reflexions-System NRS11

**für Buntton *h** = lab*h = 92/360 = 0.256**
***lab*tch* und *lab*nch***

**D65: Buntton J**
**LCH*Ma: 53 83 92**
**rgb*Ma: 0.98 1.0 0.0**

**Dreiecks-Helligkeit *t****

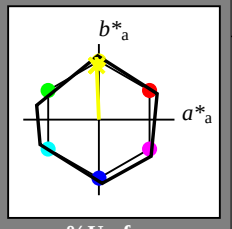


**%Umfang**

**u*rel = 119**

**NRS11; adaptierte CIELAB-Daten**

| | $L^*=L^*_a$ | $a^*_a$ | $b^*_a$ | $C^*_{ab,a}$ | $h^*_{ab,a}$ |
|---|---|---|---|---|---|
| $R_{Ma}$ | 53.2 | 77.06 | 34.32 | 84.36 | 24 |
| $J_{Ma}$ | 53.2 | −1.51 | 84.38 | 84.39 | 91 |
| $G_{Ma}$ | 53.2 | −82.27 | 18.98 | 84.44 | 167 |
| $G50B_{Ma}$ | 53.2 | −77.72 | −32.98 | 84.44 | 203 |
| $B_{Ma}$ | 53.2 | 4.37 | −84.28 | 84.41 | 273 |
| $B50R_{Ma}$ | 53.2 | 69.09 | −48.41 | 84.37 | 325 |
| $N_{Ma}$ | 10.99 | 0.0 | 0.0 | 0.0 | 0 |
| $W_{Ma}$ | 95.41 | 0.0 | 0.0 | 0.0 | 0 |
| $R_{CIE}$ | 39.92 | 58.69 | 27.98 | 65.01 | 25 |
| $J_{CIE}$ | 81.26 | −2.9 | 71.56 | 71.62 | 92 |
| $G_{CIE}$ | 52.23 | −42.45 | 13.59 | 44.59 | 162 |
| $B_{CIE}$ | 30.57 | 1.35 | −46.48 | 46.51 | 272 |

**%Regularität**

**g*H,rel = 47**

**g*C,rel = 100**

## Ausgabe: Farbmetrisches Reflexions-System ORS18

**für Buntton *h** = lab*h = 92/360 = 0.255**
***lab*tch* und *lab*nch***

**D65: Buntton J**
**LCH*Ma: 86 88 92**
**rgb*Ma: 1.0 0.9 0.0**

**Dreiecks-Helligkeit *t****

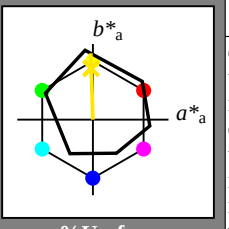


**%Umfang**

**u*rel = 93**

**ORS18; adaptierte CIELAB-Daten**

| | $L^*=L^*_a$ | $a^*_a$ | $b^*_a$ | $C^*_{ab,a}$ | $h^*_{ab,a}$ |
|---|---|---|---|---|---|
| $O_{Ma}$ | 47.94 | 65.37 | 50.52 | 82.62 | 38 |
| $Y_{Ma}$ | 90.37 | −10.27 | 91.77 | 92.34 | 96 |
| $L_{Ma}$ | 50.9 | −62.79 | 34.95 | 71.87 | 151 |
| $C_{Ma}$ | 58.62 | −30.35 | −45.01 | 54.3 | 236 |
| $V_{Ma}$ | 25.71 | 31.11 | −44.42 | 54.24 | 305 |
| $M_{Ma}$ | 48.13 | 75.27 | −8.35 | 75.73 | 354 |
| $N_{Ma}$ | 18.01 | 0.0 | 0.0 | 0.0 | 0 |
| $W_{Ma}$ | 95.41 | 0.0 | 0.0 | 0.0 | 0 |
| $R_{CIE}$ | 39.92 | 58.66 | 26.98 | 64.56 | 25 |
| $J_{CIE}$ | 81.26 | −2.17 | 67.76 | 67.79 | 92 |
| $G_{CIE}$ | 52.23 | −42.26 | 11.75 | 43.87 | 164 |
| $B_{CIE}$ | 30.57 | 1.15 | −46.84 | 46.87 | 271 |

**%Regularität**

**g*H,rel = 57**

**g*C,rel = 59**

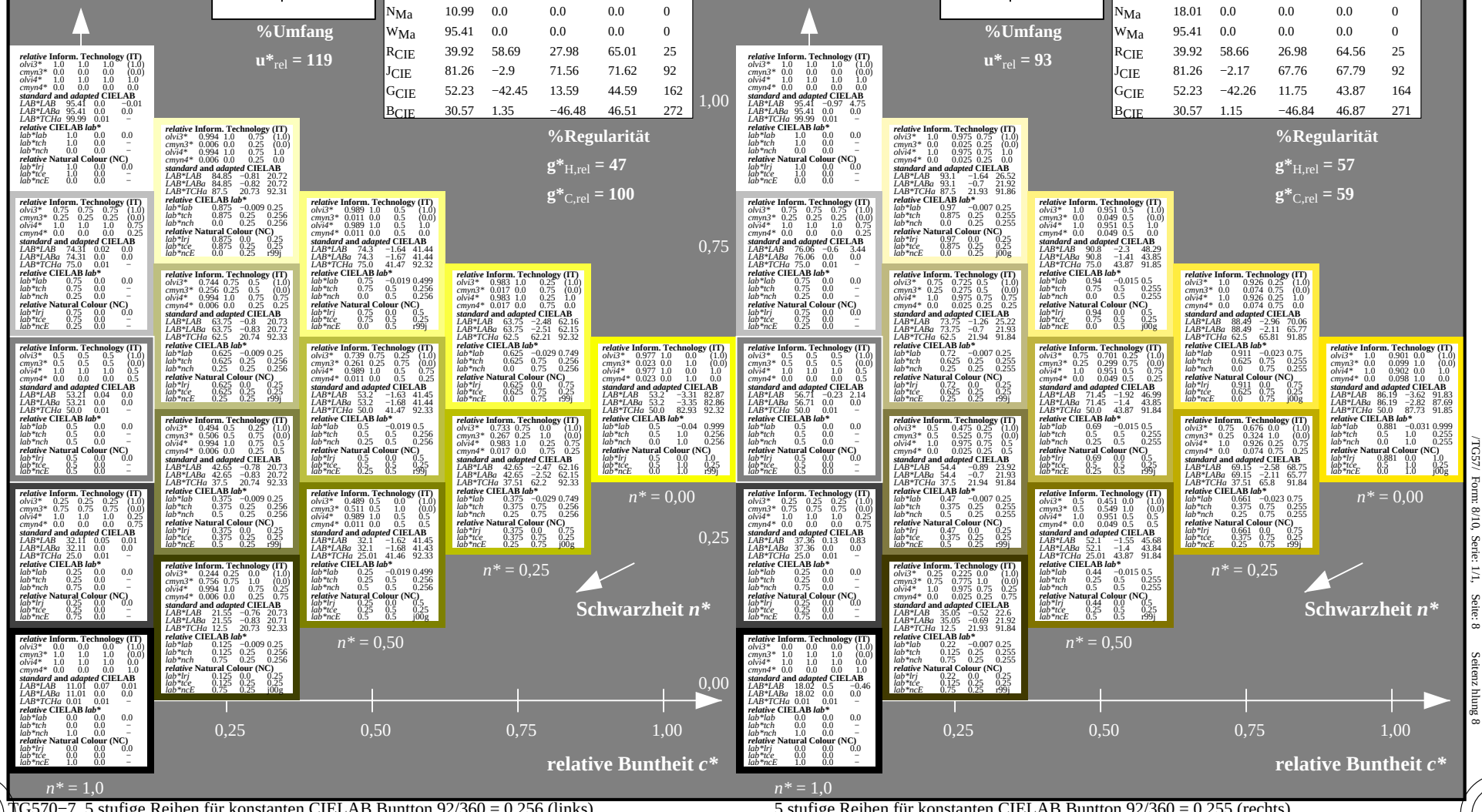


TG570−7, 5 stufige Reihen für konstanten CIELAB Buntton 92/360 = 0.256 (links)

5 stufige Reihen für konstanten CIELAB Buntton 92/360 = 0.255 (rechts)

Siehe ähnliche Dateien: http://www.ps.bam.de/TG57/
Technische Information: http://www.ps.bam.de Version 2.1, io=1,1?

## Eingabe: Farbmetrisches Reflexions-System NRS11

**für Buntton $h^* = lab^*h = 162/360 = 0.451$**
***lab*tch* und *lab*nch***

**D65: Buntton G**
**LCH*Ma: 53 80 162**
**rgb*Ma: 0.08 1.0 0.0**

**Dreiecks-Helligkeit $t^*$**

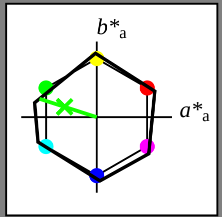


**%Umfang**
**$u^*_{rel}$ = 119**

| NRS11; adaptierte CIELAB-Daten | $L^*=L^*_a$ | $a^*_a$ | $b^*_a$ | $C^*_{ab,a}$ | $h^*_{ab,a}$ |
|---|---|---|---|---|---|
| $R_{Ma}$ | 53.2 | 77.06 | 34.32 | 84.36 | 24 |
| $J_{Ma}$ | 53.2 | −1.51 | 84.38 | 84.39 | 91 |
| $G_{Ma}$ | 53.2 | −82.27 | 18.98 | 84.44 | 167 |
| $G50B_{Ma}$ | 53.2 | −77.72 | −32.98 | 84.44 | 203 |
| $B_{Ma}$ | 53.2 | 4.37 | −84.28 | 84.41 | 273 |
| $B50R_{Ma}$ | 53.2 | 69.09 | −48.41 | 84.37 | 325 |
| $N_{Ma}$ | 10.99 | 0.0 | 0.0 | 0.0 | 0 |
| $W_{Ma}$ | 95.41 | 0.0 | 0.0 | 0.0 | 0 |
| $R_{CIE}$ | 39.92 | 58.69 | 27.98 | 65.01 | 25 |
| $J_{CIE}$ | 81.26 | −2.9 | 71.56 | 71.62 | 92 |
| $G_{CIE}$ | 52.23 | −42.45 | 13.59 | 44.59 | 162 |
| $B_{CIE}$ | 30.57 | 1.35 | −46.48 | 46.51 | 272 |

**%Regularität**
**$g^*_{H,rel}$ = 47**
**$g^*_{C,rel}$ = 100**

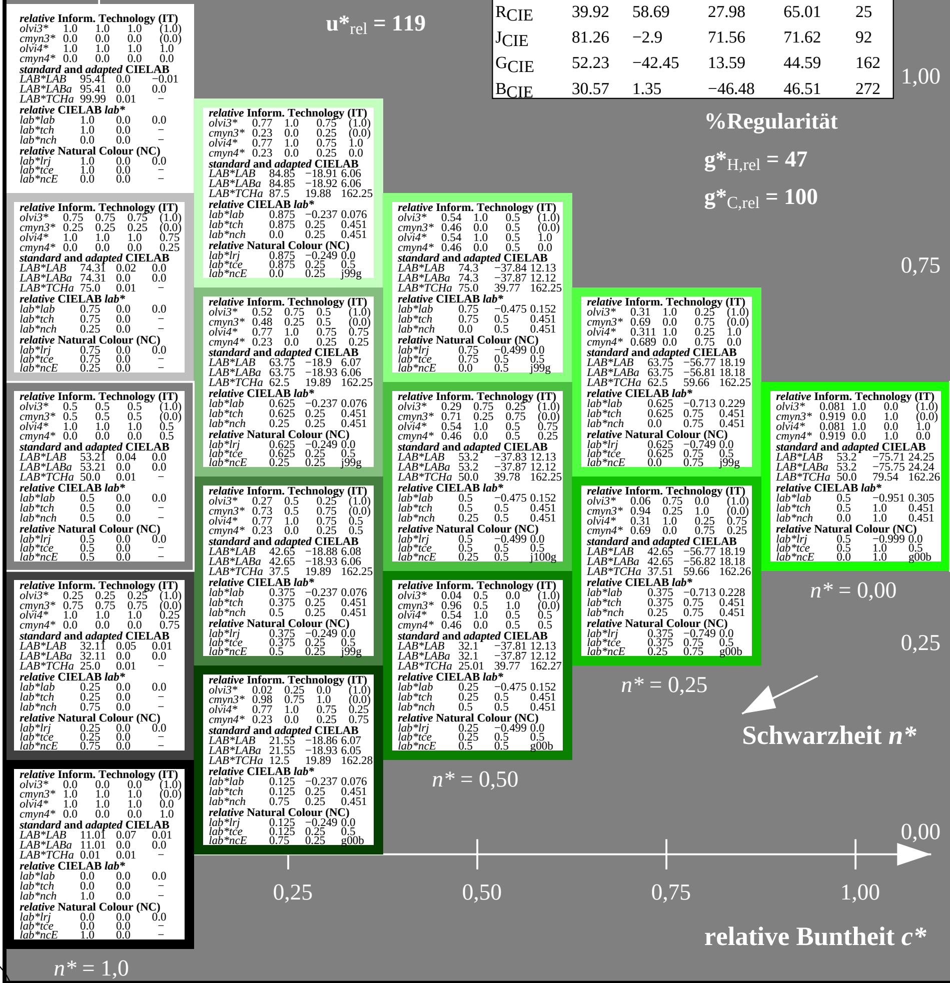


## Ausgabe: Farbmetrisches Reflexions-System ORS18

**für Buntton $h^* = lab^*h = 164/360 = 0.457$**
***lab*tch* und *lab*nch***

**D65: Buntton G**
**LCH*Ma: 53 57 164**
**rgb*Ma: 0.0 1.0 0.25**

**Dreiecks-Helligkeit $t^*$**

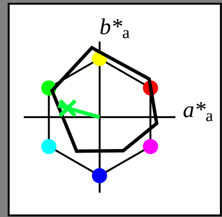


**%Umfang**
**$u^*_{rel}$ = 93**

| ORS18; adaptierte CIELAB-Daten | $L^*=L^*_a$ | $a^*_a$ | $b^*_a$ | $C^*_{ab,a}$ | $h^*_{ab,a}$ |
|---|---|---|---|---|---|
| $O_{Ma}$ | 47.94 | 65.37 | 50.52 | 82.62 | 38 |
| $Y_{Ma}$ | 90.37 | −10.27 | 91.77 | 92.34 | 96 |
| $L_{Ma}$ | 50.9 | −62.79 | 34.95 | 71.87 | 151 |
| $C_{Ma}$ | 58.62 | −30.35 | −45.01 | 54.3 | 236 |
| $V_{Ma}$ | 25.71 | 31.11 | −44.42 | 54.24 | 305 |
| $M_{Ma}$ | 48.13 | 75.27 | −8.35 | 75.73 | 354 |
| $N_{Ma}$ | 18.01 | 0.0 | 0.0 | 0.0 | 0 |
| $W_{Ma}$ | 95.41 | 0.0 | 0.0 | 0.0 | 0 |
| $R_{CIE}$ | 39.92 | 58.66 | 26.98 | 64.56 | 25 |
| $J_{CIE}$ | 81.26 | −2.17 | 67.76 | 67.79 | 92 |
| $G_{CIE}$ | 52.23 | −42.26 | 11.75 | 43.87 | 164 |
| $B_{CIE}$ | 30.57 | 1.15 | −46.84 | 46.87 | 271 |

**%Regularität**
**$g^*_{H,rel}$ = 57**
**$g^*_{C,rel}$ = 59**

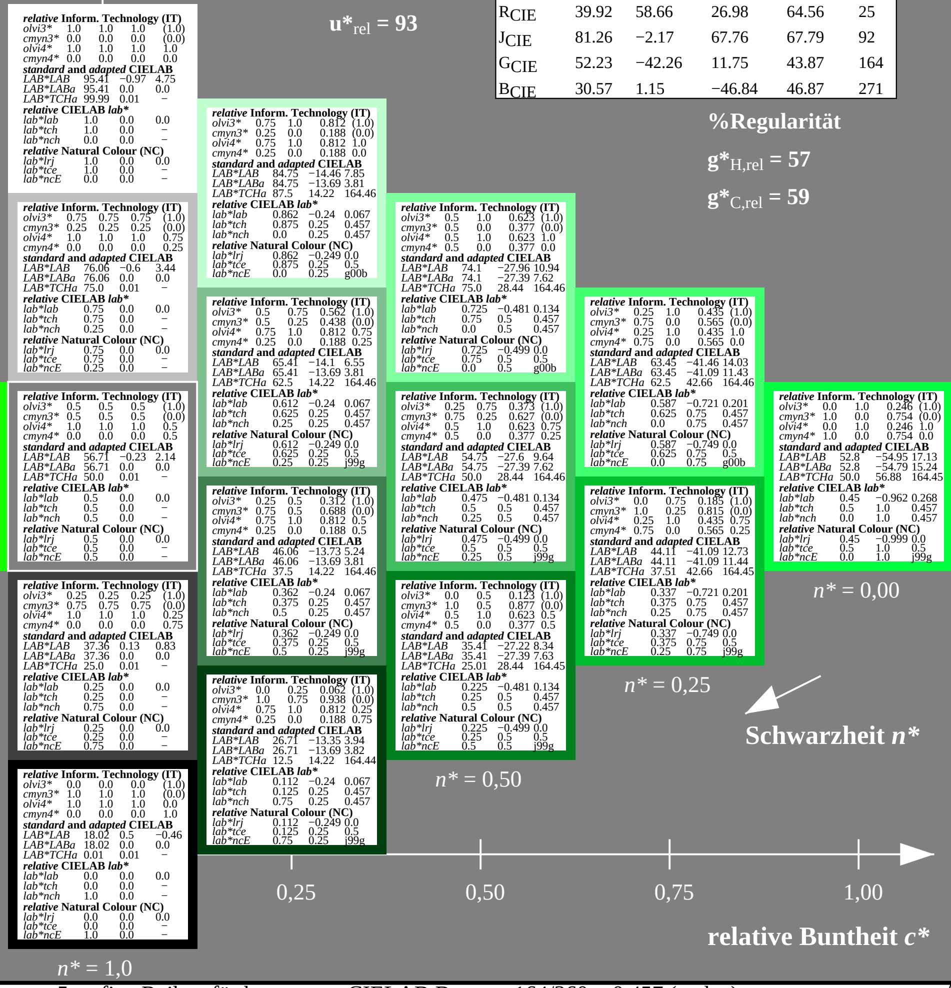


TG570−7, 5 stufige Reihen für konstanten CIELAB Buntton 162/360 = 0.451 (links)  5 stufige Reihen für konstanten CIELAB Buntton 164/360 = 0.457 (rechts)

BAM-Registrierung: 20060101-TG57/10Q/Q57G08SP.PS/.PDF BAM-Material: Code=rha4ta
Anwendung für Beurteilung und Messung von Drucker− oder Monitorsystemen

/TG57/ Form: 9/10, Serie: 1/1, Seite: 9
Seitenzählung 9

www.ps.bam.de/TG57/10Q/Q57G09SP.PS/.PDF;
S: Ausgabe-Linearisierung (OL-Daten) TG57/10Q/Q57G09SP.DAT im Distiller Startup (S) Directory

Siehe ähnliche Dateien: http://www.ps.bam.de/TG57/
Technische Information: http://www.ps.bam.de Version 2.1, io=1,1?

BAM-Registrierung: 20060101-TG57/10Q/Q57G09SP.PS/.PDF BAM-Material: Code=rha4ta
Anwendung für Beurteilung und Messung von Drucker– oder Monitorsystemen
/TG57/ Form: 10/10,Serie: 1/1, Seite: 10 Sättenz hlung 10

## Eingabe: Farbmetrisches Reflexions-System NRS11

für Buntton *h* = lab*h = 272/360 = 0.755*
*lab*tch* und *lab*nch*

D65: Buntton B
LCH*Ma: 53 83 272
rgb*Ma: 0.0 0.02 1.0

Dreiecks-Helligkeit *t**

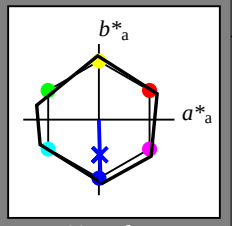


%Umfang
$u^*_{rel}$ = 119

**NRS11; adaptierte CIELAB-Daten**

| | $L^*=L^*_a$ | $a^*_a$ | $b^*_a$ | $C^*_{ab,a}$ | $h^*_{ab,a}$ |
|---|---|---|---|---|---|
| $R_{Ma}$ | 53.2 | 77.06 | 34.32 | 84.36 | 24 |
| $J_{Ma}$ | 53.2 | −1.51 | 84.38 | 84.39 | 91 |
| $G_{Ma}$ | 53.2 | −82.27 | 18.98 | 84.44 | 167 |
| $G50B_{Ma}$ | 53.2 | −77.72 | −32.98 | 84.44 | 203 |
| $B_{Ma}$ | 53.2 | 4.37 | −84.28 | 84.41 | 273 |
| $B50R_{Ma}$ | 53.2 | 69.09 | −48.41 | 84.37 | 325 |
| $N_{Ma}$ | 10.99 | 0.0 | 0.0 | 0.0 | 0 |
| $W_{Ma}$ | 95.41 | 0.0 | 0.0 | 0.0 | 0 |
| $R_{CIE}$ | 39.92 | 58.69 | 27.98 | 65.01 | 25 |
| $J_{CIE}$ | 81.26 | −2.9 | 71.56 | 71.62 | 92 |
| $G_{CIE}$ | 52.23 | −42.45 | 13.59 | 44.59 | 162 |
| $B_{CIE}$ | 30.57 | 1.35 | −46.48 | 46.51 | 272 |

%Regularität
$g^*_{H,rel}$ = 47
$g^*_{C,rel}$ = 100

## Ausgabe: Farbmetrisches Reflexions-System ORS18

für Buntton *h* = lab*h = 271/360 = 0.754*
*lab*tch* und *lab*nch*

D65: Buntton B
LCH*Ma: 42 45 271
rgb*Ma: 0.0 0.49 1.0

Dreiecks-Helligkeit *t**

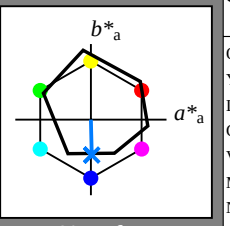


%Umfang
$u^*_{rel}$ = 93

**ORS18; adaptierte CIELAB-Daten**

| | $L^*=L^*_a$ | $a^*_a$ | $b^*_a$ | $C^*_{ab,a}$ | $h^*_{ab,a}$ |
|---|---|---|---|---|---|
| $O_{Ma}$ | 47.94 | 65.37 | 50.52 | 82.62 | 38 |
| $Y_{Ma}$ | 90.37 | −10.27 | 91.77 | 92.34 | 96 |
| $L_{Ma}$ | 50.9 | −62.79 | 34.95 | 71.87 | 151 |
| $C_{Ma}$ | 58.62 | −30.35 | −45.01 | 54.3 | 236 |
| $V_{Ma}$ | 25.71 | 31.11 | −44.42 | 54.24 | 305 |
| $M_{Ma}$ | 48.13 | 75.27 | −8.35 | 75.73 | 354 |
| $N_{Ma}$ | 18.01 | 0.0 | 0.0 | 0.0 | 0 |
| $W_{Ma}$ | 95.41 | 0.0 | 0.0 | 0.0 | 0 |
| $R_{CIE}$ | 39.92 | 58.66 | 26.98 | 64.56 | 25 |
| $J_{CIE}$ | 81.26 | −2.17 | 67.76 | 67.79 | 92 |
| $G_{CIE}$ | 52.23 | −42.26 | 11.75 | 43.87 | 164 |
| $B_{CIE}$ | 30.57 | 1.15 | −46.84 | 46.87 | 271 |

%Regularität
$g^*_{H,rel}$ = 57
$g^*_{C,rel}$ = 59

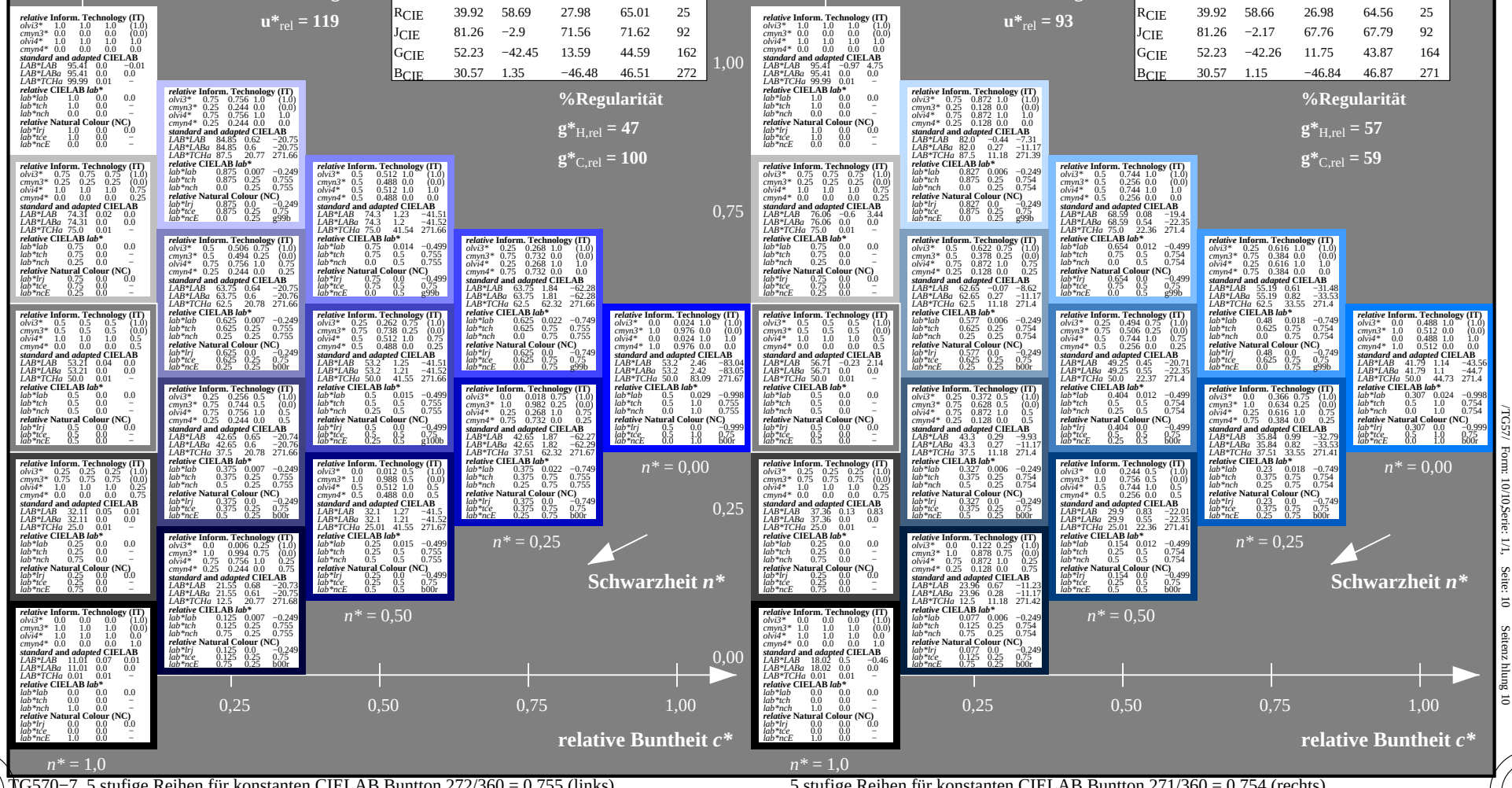


TG570−7, 5 stufige Reihen für konstanten CIELAB Buntton 272/360 = 0.755 (links)
5 stufige Reihen für konstanten CIELAB Buntton 271/360 = 0.754 (rechts)

BAM-Prüfvorlage TG57; Farbmetrik-Systeme ORS18 & ORS18 input: *olv* setrgbcolor*
D65: 2 Koordinaten-Daten von 5stufigen Farbreihen für 10 Buntton output: *Startup (S) data dependend*